「中大規模木造建築物」実プロジェクト第 1 号の実現 国内初となる高性能耐震フレーム構法 P&UA の適用

Realization of the first medium to large scale wooden construction project

First application of high performance seismic wooden frame system P&UA

> 竹内 章博* 金川 基** Akihiro Takeuchi Motoi Kanagawa

約

著者らはこれまで「中大規模木造建築物の実現」を目的とし、高耐力、高剛性および高靭性を有する 中大規模木造用高性能耐震フレーム構法 P&UA の共同研究開発を行ってきた.

本報では、国内で初めて同構法を実プロジェクトに適用し、構造計算ルート3を用いて設計した木造 5 階建て耐火建築物の構造設計および構法開発時に行った耐火性能検証の内容について述べる.

本構法は2022年10月に一般財団法人日本建築センターにて評定を取得した構法である。また、本プ ロジェクトは、住宅・建築物の木造化に係る先導的な技術の普及啓発に寄与するものとして評価され、 「令和5年度サステナブル建築物等先導事業(木造先導型)」に採択された.

目 次

- §1. はじめに
- §2. 実プロジェクトの概要
- §3. 構造計算ルート3の適用
- §4. 耐火性能の検証
- § 5. おわりに

§ 1. はじめに

著者らはこれまで「中大規模木造建築物の実現」に向 け、10 階建て規模の木造建築物の建設を可能とする、新 たな中大規模木造用高性能耐震フレーム構法 P&UA の 共同研究開発を行ってきた。前報1)では、構法開発時に 実施した構造実験および耐火実験の一部を報告した. 本 報では、国内で初めて同構法を実プロジェクトに適用し、 構造計算ルート3を用いて設計した木造5階建て耐火建 築物 (図-1 および写真-1) の構造設計および構法開発 時に行った耐火性能検証の内容を述べる.

§ 2. 実プロジェクトの概要

2-1 構造計画概要

図-2に実プロジェクトの外観パースと建物諸元およ び代表的な床伏図および軸組図を示す. 対象建物は、用



写真-1 実現した開発構法の木造躯体



図一1 実プロジェクトの架構イメージパース

^{*} 技術研究所建築技術グループ

^{**}技術研究所

途が寄宿舎である5階建ての耐火木造建築物である.用 途が居住施設であることから,以下に示す要求事項を満 足するように架構の構造計画を行った.

- ① 桁行 Y 方向は開放性の高いラーメン架構
- ② 梁間 X 方向は寮室間の戸境壁を利用し耐力壁架構
- ③ 床振動や遮音性,施工性を考慮し,床はRC造(ハーフPC版)

図一3に建物の架構イメージ図を示す。図中には建物 各階で使用した木材の樹種および強度等級,鉄骨の鋼種を併記した。写真一2に建て方時の木造躯体の状況を示す。使用する木材には、大梁、柱、耐力壁の全てに国産材のスギ、ヒノキを活用した。

2-2 ラーメン架構の概要

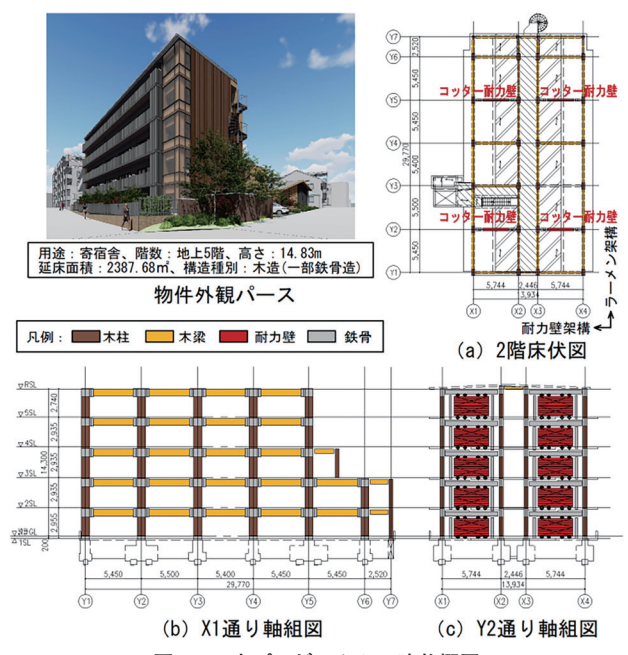
本プロジェクトでは、従来構法である GIR (Glued in rod) を改良した、新たな接合構法を開発しラーメン架構に適用した.

図-4 に開発した鋼棒挿入式の接着接合構法の概要図 および各部寸法を示す. 以下, 本接合構法を GIUA (Glued in unbonded anchor) と定義する. GIUA は従来の GIR に 対して、アンカーとなる鋼棒と木材とを接着して定着耐 力を確保する範囲(以下,ボンド範囲)と,木材との接 着を切って軸変形させる範囲(以下, アンボンド範囲) に分ける改良を行った. なお, 鋼棒には異形鉄筋ではな く、高い靭性を有する建築構造用転造ネジアンカーボル ト SNR490B (以下, ABR490) を用いた. この改良によ り、アンボンド範囲で高い伸び能力を有する ARB490 を 先行降伏させ, 木材の割裂破壊を抑えた高靭性型の接合 が可能となる. アンボンド長は樹種や鋼棒径に拘わらず 200 mm とし、ボンド長は、アンボンド部を降伏させる ために十分な付着長さを樹種および鋼棒径に応じて確保 した、本構法では、従来の GIR の施工時に品質管理上課 題となっていたエポキシ樹脂の充填施工を, 工場で行う 改良も行った.

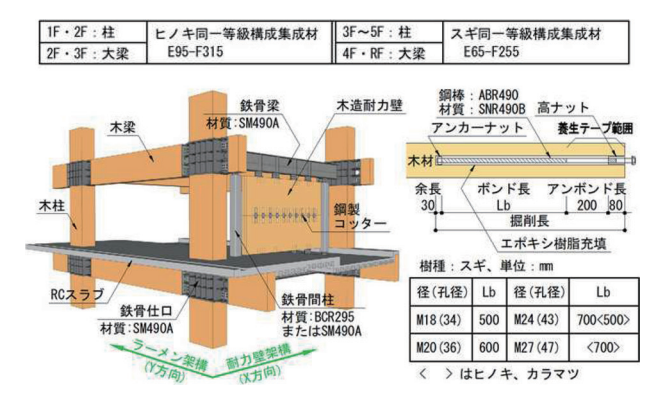
図一5 に開発したラーメン架構について、2 階の柱梁接合部の詳細図を示す。本開発では、柱梁接合部に鉄骨仕口を挿入することにより、木部材同士のめり込み変形を防止するとともに、木部材に比して十分剛に設計した鉄骨仕口部を利用して、設備用の梁貫通孔を設ける工夫をした。木部断面に対する GIUA の縁あきは 1.5ϕ (ϕ は孔径)以上、GIUA 同士のピッチは 2.0ϕ 以上とし、集成材のラミナ寸法に応じて調整した。せん断力に対しては、シアキーの役割のみを持たせるため、GIUA の全長をアンボンド範囲としたせん断用鋼棒 GIFU (Glued in full unbonded anchor)を用いた。なお、木柱および木梁の小口面側の GIUA の元端には高ナットを取り付け、鉄骨仕口とは強度区分 10.9 以上のボルトで緊結する構造とした。

2-3 耐力壁架構の概要

図-6 に開発した耐力壁架構の1階の詳細図を示す. 耐力壁は、上下方向に2枚並べたCLT相互を、前報¹⁾で



図一2 実プロジェクトの建物概要

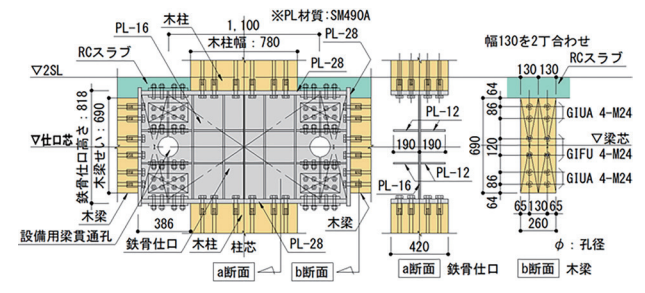


図一3 架構イメージ

図一4 GIUAの概要



写真一2 建て方時の木造躯体の状況



図一5 ラーメン架構の2階柱梁接合部詳細図

述べた接合用鋼材(以下、コッター)で連結する構造と した. 大地震時には上下の CLT が水平方向にスライドし、 コッターの可撓部が木部より先行降伏して変形すること で木材は損傷せず、コッターが地震エネルギーを吸収す る機構とした. 耐力壁周辺架構は, 剛性および耐力を確 保するため、大梁を両端ピン接合の鉄骨梁とし、耐力壁 降伏時にも周辺架構が弾性範囲内にあるように設計した. 耐力壁と鉄骨梁との接合は、CLT 側を鋼板挿入ドリフト ピン接合とし、鉄骨梁から持ち出したリブ補強付きのガ セットプレートと、挿入鋼板とを高力ボルトで接合した.

§3. 構造計算ルート3の適用

3-1 崩壊メカニズム

図-7に、後述する保有水平耐力計算における、各方 向代表フレームの全体崩壊形 (Ds 算定時) を示す. 図中 にはヒンジ発生部の塑性率を併記した. なお, この崩壊 形を満足するため、構法開発の際には塑性ヒンジ形成部 位に対する実大加力実験を行い、あらかじめ性能確認を 行っている¹⁾.

3-2 構造解析モデル

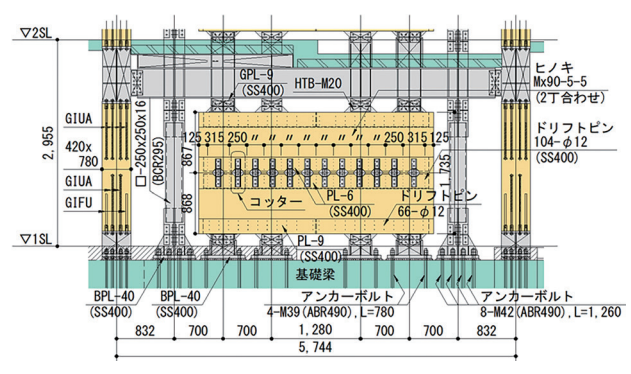
図-8に各方向の応力解析モデル図を示す. 架構のモ デル化は, 柱・梁を線材置換し, 部材端に回転バネを考 慮した立体フレームモデルとした. 柱梁接合部の鉄骨仕 口は剛域としてモデル化し、耐力壁はせん断剛性および 耐力が等価なブレースに置換した. なお. X 方向の耐力 壁架構は、鉄骨大梁および耐力壁両脇の鉄骨柱は全てピ ン接合とし、耐力壁のみでほぼ全ての水平力を負担する ようにモデル化した.

図-9 には、解析時にモデル化したラーメン架構の大 梁端接合部の骨格曲線を,実験結果10と比較して示す. 図 中には、解析モデルにおける初期剛性、降伏耐力および 塑性率の値を併記した. また図-10には, 同様にして1 階柱脚接合部の場合を示す. GIUA を用いた部材端接合 部の回転バネの初期剛性および降伏耐力は、文献20に記 載の方法で算出した. 解析モデルの骨格曲線はバイリニ ア型でモデル化した. 両実験結果とも、解析モデルの初 期剛性は実験結果とよく対応しており、降伏耐力も実験 結果に対して安全側の評価になっていることが分かった.

図-11 には,解析時にモデル化した耐力壁の骨格曲線 を、実験結果1)と比較して示す、耐力壁の初期せん断剛 性および降伏耐力は、文献^{2),3)} に記載の方法で算出した. 耐力壁の骨格曲線はバイリニア型でモデル化した. 解析 モデルの初期剛性は実験結果とよく対応しており、降伏 耐力も実験結果に対して安全側の評価になることを確認 した.

3-3 荷重増分解析と構造特性係数 Ds 値

以下では、構造計算ルート3で必要となる Ds 値の検 討について示す. 本物件では限界耐力計算に準拠した方 法を参考として、建物を等価1自由度系に縮約すること で建物の塑性率 μ を求め Ds 値を算定した. Ds 値は塑性



図一6 1階耐力壁架構詳細図

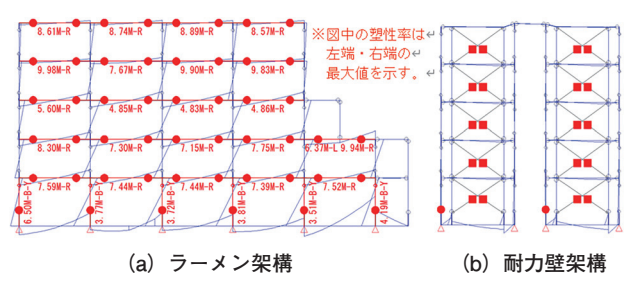
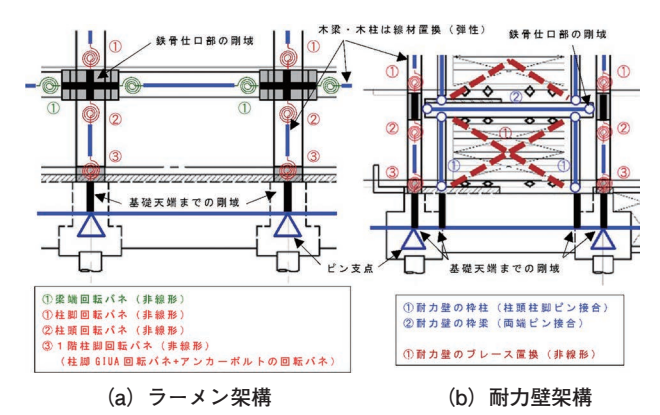
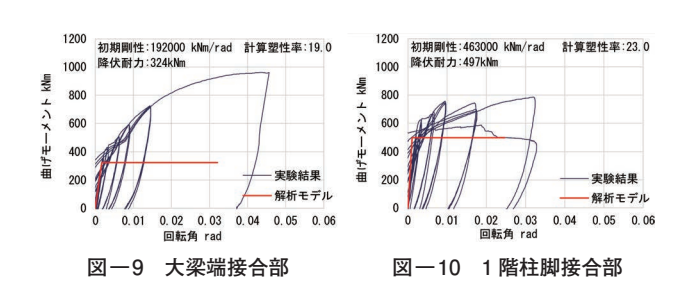


図-7 Ds 算定時における全体崩壊形



図一8 構造解析モデル図



1200 初期剛性:38152 N/mm 降伏耐力:411kN 計算塑性率: 8.19 柱試験体の計算塑性率 (23.0/1.5=15.3) 1000 梁試験体の計算塑性率 (19.0/1.5=12.6 14 ₹ 事歸結里 2F梁 3F梁 4F梁 0. 05 0. 06 層間変形角 図一11 耐力壁

図一12 各階塑性率分布

率μの値から下式で算定した.

$$Ds = 1/\sqrt{(2\mu - 1)} \tag{1}$$

なお、Ds 算定時の最大層間変形角については、実験で得られた部材の最大変形角¹⁾ に対して、1.5 倍の安全率を考慮して設定した。すなわち、ラーメン架構は、Ds 算定時の最大層間変形角を 1/30 rad として設定し、耐力壁架構は、Ds 算定時の最大層間変形角を 1/45 rad として設定した。なお、これらの変形角は、一般的な木造の安全限界変形角である 1/30 rad 以内となる。

図-12 にラーメン架構の Ds 算定時の各階部材端の 塑性率を示す. 図中には GIUA の設計伸び 10%時の塑性 率の計算値を併記した. 塑性率の値は実験で確認した塑 性率以下になっていることを確認した. なお, Ds 算定時 においては, 図-7 で示した全体崩壊形を満足するよう に保証設計を行った.

図一13 にラーメン架構各階の荷重増分解析結果および建物全体の変形を等価1自由度系に縮約した結果を示す。等価1自由度系に縮約した結果より、塑性率μは4.583 となり、Ds 値の値は(1)式より Ds = 0.350 となった、塑性率の算定は初期剛性と Ds 算定時の1 階層せん断力との交点を塑性率の起点とした。なお、1 次設計時の層間変形角は1/200 rad 以下の値を示していることから、本開発構法は木質ラーメン架構でありながら、高い剛性を有していることが分かった。

図-14 には同様にして、耐力壁架構の場合について示す。耐力壁架構も同様の計算により、塑性率 μ = 3.728、 Ds= 0.394 となった。耐力壁架構もラーメン架構と同様に、1 次設計時の層間変形角が 1/200 rad 以下となり、高い剛性を有することを確認した。

以上の計算結果より,本物件ではラーメン架構の Ds 値は 0.35,耐力壁架構の Ds 値は 0.4 を採用した.

§ 4. 耐火性能の検証

4-1 開発構法における防耐火上の課題の整理

図―15 に、本構法における耐火性能の検証部位について示す。本構法の防耐火上留意すべき点は、構造上主要な木質部材に接する鉄やコンクリート等が木の着火温度である 260℃を超えないようにすることにある。前報¹⁾では、図中に示した試験 1 および試験 2 の結果を示した。本報では、防耐火上の配慮が必要と考えられる鉄骨仕口内を貫通する設備配管用スリーブについて、2 時間耐火実験を実施した試験 3 および試験 4 の結果について述べる

図-16 および写真-3 に設備配管用スリーブの検証 部位と試験体を示す.加熱実験は、建物内部の接合部お よび設備配管が両面加熱を受ける場合(試験体 3)と、建 物外壁に面する接合部及び設備配管が室内から片面加熱 を受ける場合(試験体 4)について行った.

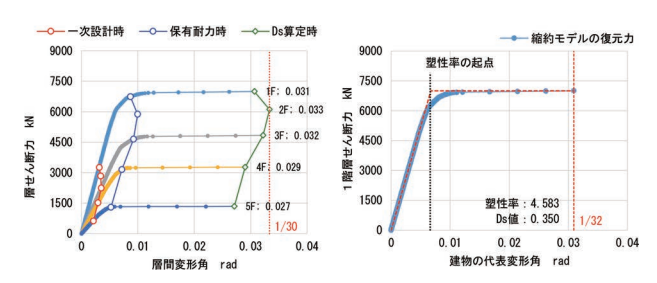


図-13 ラーメン架構の Ds 値の算定

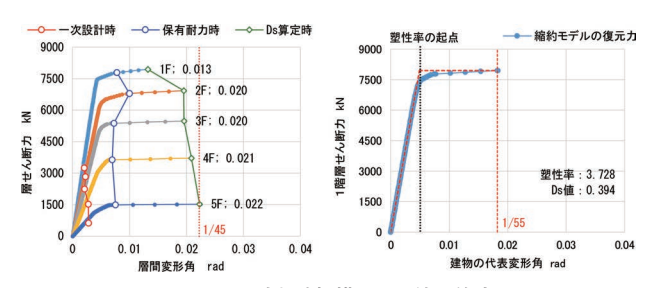


図-14 耐力壁架構の Ds 値の算定

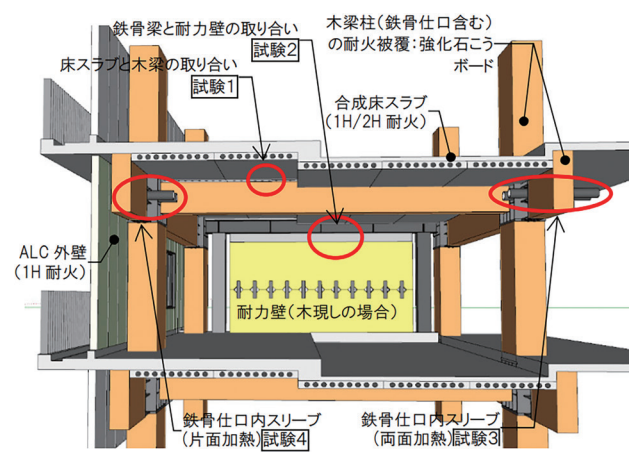
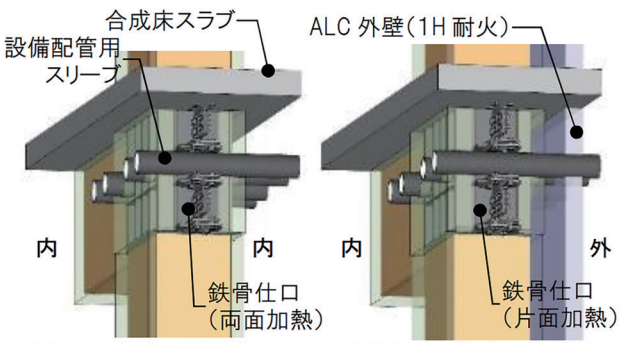


図-15 耐火性能についての検証部位



建物内部想定:試験体3 建物外壁面想定:試験体4

図一16 設備配管用スリーブ検証部位





写真一3 試験体3および試験体4

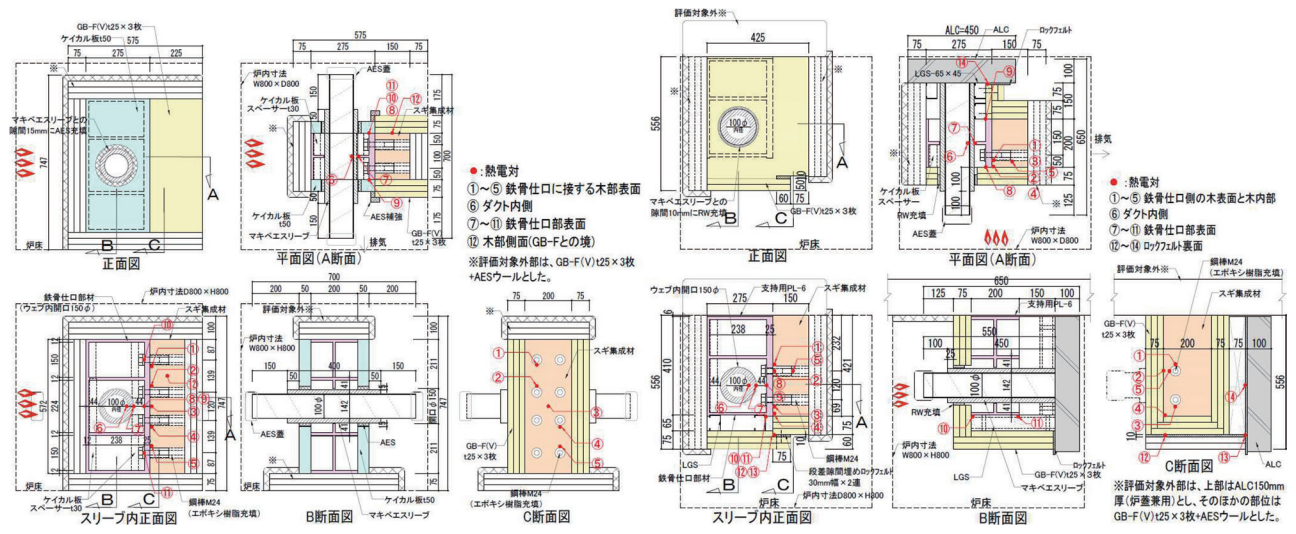
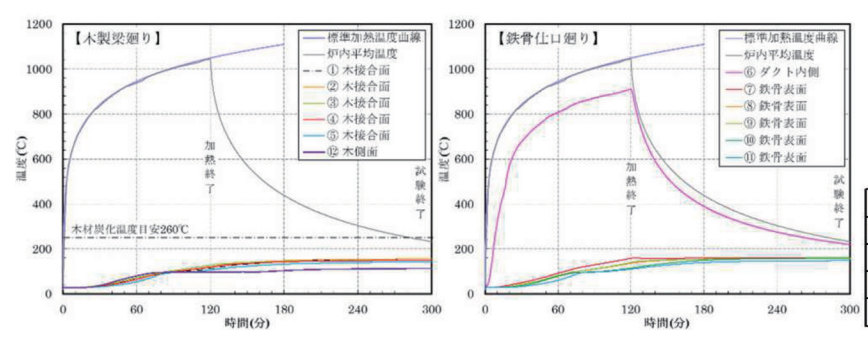


図-17 試験3の試験体図および温度測定位置

図-18 試験4の試験体図および温度測定位置

表一1 使用材料

項目	仕様・規格	試験 体3	試験 体4
木製梁	スギ 構造用集成材同一等級 E65-F255	0	0
鉄骨仕口	SS400、木部側フランジ 25mm 厚、その他 12mm 厚	0	0
鋼棒	SNR490B M24、木孔内にエポキシ樹脂系 2 液型接着剤充填	0	0
設備用スリーブ の耐火被覆	RW t20mm 付スパイラルダクト (ニチアス(株)製マキベエスリーブ)、溶融亜鉛めっき鋼板、内径 100φ、外径 104φ、厚 0.5mm	0	0
木部の耐火被覆	強化せっこうボード[GB-F(V)]、厚 25mm×3 枚張り=総厚 75mm	0	〇 仕口共
鉄骨仕口部の 耐火被覆	けい酸カルシウム板 t50mm (3 時間相当)、スペーサーは 30mm、 日本インシュレーション(株) 製 タイカライト1号	0	_
外壁	軽量気泡コンクリート[ALC]t100mm	-	0
軽鉄下地	LGS-65×45 (一般普及品)	-	0
マキベエスリー	隙間 15mm 程度、AES ウール 幅 15mm×奥行 50mm 充填	0	1-
ブ廻りの隙間	隙間 10mm 程度、RW 密度 40kg/m3 充填、奥行 45mm 充填	_	0
GB-F(V)間の隙間	高密度ロックウールフェルト t10mm, 150kg/m3, 吉野石膏(株) 製ロックフェルト	-	0

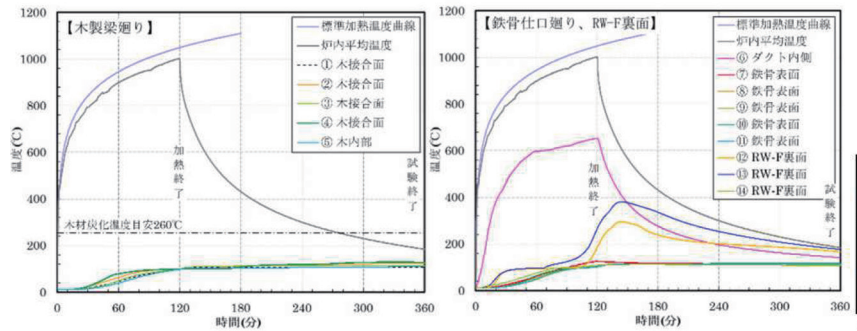


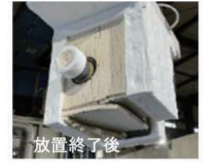




部位		最高温度℃		
鉄骨仕口と木製梁の接合面温度①~⑤	157	(①,299分)		
スパイラルダクト内側表面温度⑥	910	(⑥,120分)		
鉄骨仕口部表面温度⑦~①	161	(⑦,196分)		
木製梁の側面温度(GB-F裏)⑫	114	(12,299分)		

図-19 試験体3の各部温度推移と最高温度







部位	最高温度°C		
鉄骨仕口と木製梁の接合面温度①~④	130 (④,324分)		
木製梁内部温度⑤	110 (⑤,356分)		
スパイラルダクト内側表面温度⑥	654 (⑥,120分)		
鉄骨仕口部表面温度⑦~⑪	126 (⑦,120分)		
RW-F裏面温度⑫~⑭	380 (3,144分)		

丸数字:熱電対番号、時間:加熱開始から(放置時間含む)

図-20 試験体 4 の各部温度推移と最高温度

4-2 実験概要

図-17 および図-18 に試験体図および温度測定位置 を, また表一1に使用材料を示す. 設備配管用スリーブ には、 鉄骨仕口の耐火被覆から突出する部分が受熱した 際に、木部への熱伝達を抑制するため、内径φ 100 mm のスパイラルダクトにロックウール(以下, RW)系断 熱材厚 20 mm を巻き付けたもの(以下、ニチアス社製マ キベエスリーブ)を鉄骨仕口のウェブに設けた開口の 150 mm に貫通させた. マキベエスリーブの RW 部分は、 鉄骨仕口の耐火被覆表面より試験体3は50mm, 試験体 4 は 25 mm 突き出し、フランジまでの距離を実際の設計 値よりも小さい44 mm とした. 木製梁の耐火被覆は2時 間耐火構造の告示案として検討されている強化せっこう ボード (以下, GB-F(V)) 総厚 75 mm (厚 25 mm×3 枚 張り)とした. 鉄骨仕口部の耐火被覆は, 試験体3では 3時間耐火構造相当のケイカル板厚 50 mm を使用し, 試 験体 4 では木製梁と同じ GB-F(V) 総厚 75 mm とした. 試験体4はGB-F(V) 同士の段差における隙間処理や ALC との取り合い部の耐火性能を確認するため、高密度 ロックウールフェルト(以下, RW-F)を充填した. 実験 は(一財)日本建築総合試験所の小型炉を用いて, ISO834 標準加熱曲線に準じた2時間加熱を実施し、その後、試 験体3は3時間、試験体4は4時間放置した、試験体に は、CA 熱電対(Kタイプ)を配置して各部の温度を計 測するとともに、各部の燃焼性状を目視にて確認した.

4一3 実験結果

(1) 試験体3:室内で両面加熱を受ける場合

図-19に試験体3各部の温度推移を示す. 図中には、最高温度と加熱開始からの計測時間も併記した. スパイラルダクトの露出部分からの入熱により、ダクト内側温度⑥は加熱曲線と同じように上昇したが、鉄骨仕口内⑦~①の最高温度は161℃に留まった. 鉄骨仕口と木製梁との接合面①~⑤の最高温度は157℃に留まり、木製梁の変色・炭化痕も見られなかった. なお、木製梁側面②の最高温度はGB-F(V)総厚75mmの耐火被覆により114℃に留まった. 以上より、鉄骨仕口部にプラス1時間のケイカル板厚50mmで耐火被覆し、仕口を貫通するスパイラルダクトにRW断熱材厚20mmを巻き付けた場合は(ただし木製梁側の鉄骨フランジとの距離を44mm以上確保)、木部の燃焼を抑制できると考えられる.

(2) 試験体4:室内側から片面加熱を受ける場合

図-20 に試験体 4 各部の温度推移を示す。図中には、最高温度と加熱開始からの計測時間も併記した。各部の最高温度は試験体 3 に比べてやや低く、鉄骨仕口部表面⑦~⑪は 126℃、鉄骨仕口と木製梁の接合面①~④は 130℃に留まった。また、木製梁表面から約 28 mm 内側の木内部⑤(エポキシ接着剤表面)の最高温度は 110℃となった。GB-F(V) 段差部の 8~10 mm の隙間には、

RW-Fを奥行 $60\sim75$ mm 充填したが、加熱中に上張り GB-F(V) 厚 25 mm が脱落し隙間が広がったものの、RW-F 裏面温度⑫⑬は 380℃以下に抑制され、鋼材の許容温度 450℃以下になることがわかった。さらに、GB-F(V) が ALC 外壁に突き当たる隙間には RW-Fを充填したが、その隙間が開いたり、 RW-F 裏面温度⑭が急上昇することはなかった。マキベエスリーブと GB-F(V) との隙間には RW を充填したが、鉄骨仕口廻り温度の急上昇等は見られず、スリーブ廻りの隙間埋め材としての性能を確認できた。

§ 5. おわりに

本報では、国内で初めて中大規模木造用高性能耐震フレーム構法 P&UA を実プロジェクトに適用し、構造計算ルート3を用いて木造5階建て耐火建築物を実現した事例を報告した。以下に得られた知見を述べる。

建物の桁行方向に新技術 GIUA を適用したラーメン架 構を用い、梁間方向に新技術コッター耐力壁架構を用い ることで、高耐力、高剛性および高靭性型の中大規模木 造建築物を実現することができた.

構造計算ルート 3 を適用した構造設計を行い,ラーメン方向は Ds=0.35,耐力壁方向は Ds=0.4 となる経済合理性に優れた高靭性型の木質構造を実現することができた。

構法開発時に実施した2時間耐火実験の結果,建物の 建築計画上重要な部位である設備配管スリーブ部分にお いても,十分な耐火性能を有していることを確認した.

本プロジェクトは、住宅・建築物の木造化に係る先導的な技術の普及啓発に寄与するものとして評価され、「令和5年度サステナブル建築物等先導事業(木造先導型)」に採択された。

謝辞. 本開発は㈱市浦ハウジング & プランニングを代表とする「P&UA 構法共同技術開発グループ」との共同研究開発の一環として実施しました. 関係各位に感謝致します。

参考文献

- 1) 竹内章博, 金川基:「中大規模木造建築物の実現」への取り組み 中大規模木造用高性能耐震フレーム構法 P&UA の開発, 西松建設技報 Vol. 47, 2024
- 2) 竹内章博ほか:高耐力・高靭性型中層木造建築物の 開発と実物件への適用,日本建築学会技術報告集 第30巻 第76号,pp. 1235-1240, 2024. 10
- 3) 竹内章博ほか:汎用型中高層木造建築物の構法開発 と中層 5 階建て建築物への適用事例(その1~4)日 本建築学会大会学術講演梗概集(関東), pp. 201-208, 2024.8